

استخدام نموذج Air Q2.2.3 للتنبؤ بحالات أمراض الجهاز التنفسي الناتجة من التعرض للأتربة الصدرية المستنشقة في مدينة مكة المكرمة

تركي محمد حبيب الله، عاطف محمد فتحي ، عصام عبدالحليم مرسي، سيد منير
قسم البحوث البيئية والصحية - معهد خادم الحرمين الشريفين لأبحاث الحج والعمرة - جامعة أم القرى

الملخص

اهتمت هذه الدراسة بتقييم آثر الأتربة الصدرية المستنشقة على صحة السكان في أربعة أحياء مختلفة بمدينة مكة المكرمة (حي الشبيكة، حي المسفلة، حي العزيزية، وحي العوالى) بالمملكة العربية السعودية خلال الفترة من ١ رمضان ١٤٣٤هـ وحتى ٢٧ صفر ١٤٣٥هـ. حيث أشارت الدراسة إلى وجود تراكيز عالية من الأتربة الصدرية في المنطقة المركزية (حي الشبيكة) تراوحت ما بين ٢٤٣.٢ - ١٨٦.١ ميكروجم/م³ بمتوسط تركيز ٢٥٤.٦ ميكروجم/م³، في حي المسفلة تراوحت ما بين ١٤٥.٦ - ٢٧١.٤ ميكروجم/م³ بمتوسط تركيز ١٨٤.٩ ميكروجم/م³، بينما تراوحت في حي العزيزية ما بين ٩٢.٤ - ٢٥٣.٨ ميكروجم/م³ بمتوسط تركيز ١٦٢.٤ ميكروجم/م³، وفي حي العوالى تراوحت ما بين ٤٤.٥ - ١١٩.٨ ميكروجم/م³ بمتوسط تركيز ٥٦٠.٠ ميكروجم/م³ في حي العوالى طيلة فترة القياس (من ١ رمضان ١٤٣٤هـ وحتى ٢٧ صفر ١٤٣٥هـ). وهي قيم لم تتجاوز الحدود المسموح بها في قانون حماية البيئة واللائحة التنفيذية بالرئاسة العامة للأرصاد وحماية البيئة للأتربة الصدرية (٤٠ ميكروجم/م³ كمتوسط يومي). وقد أعزت الدراسة سبب ذلك إلى الأعمال التطويرية الضخمة القائمة حالياً من أجل توسيع المسجد الحرام خاصة في منطقتي المسعى والساحة الشمالية من الحرم وما ينجم عن ذلك من حركة كثيفة للشاحنات والمعدات الثقيلة بالمنطقة المحيطة بالحرم وما ينتج عنها منأتربة صدرية كثيفة عالقة بالهواء نتيجة عمليات الهدم والتكسير الصخري المستمرة على مدار ٢٤ ساعة. وفي المسفلة والعزيزية إلى كثافة السكان والأنشطة البشرية والكثافة المرورية وما ينبع عنها منأتربة صدرية كثيفة عالقة بالهواء نتيجة الحركة الكثيفة للسيارات والشاحنات. كذلك تم تطبيق نموذج المحاكاة (AirQ2.2.3) للتنبؤ بعدد حالات دخول المستشفيات بسبب أمراض الجهاز التنفسي في مدينة مكة المكرمة، المملكة العربية السعودية خلال فترة سنة واحدة اعتماداً على عدد الحالات الفعلية المسجل بوزارة الصحة السعودية (٢٨٧٢ حالة في كل ١٠٠٠٠ شخص). حيث تراوحت بين (١٨ - ٣٠٥٠) حالة في كل ١٠٠٠٠ شخص بمتوسط ١٥٣٤ حالة. وكان معامل التركيز والاستجابة بين (٠٠٥ - ٠٠٤٩) لكل ١٠ ميكروجم/م³ زيادة في التركيز بجميع مواقع الدراسة. وتمت مقارنة نتائج النموذج بالدراسات التي أجريت في بلدان أخرى حول العالم.

الكلمات المفتاحية

الأتربة الصدرية المستنشقة - أمراض الجهاز التنفسى - جرعة الإستنشاق - سرطان الرئة - نموذج

AirQ2.2.3 - مكة المكرمة

أدبيات البحث

تزخر مكة المكرمة بمكانة مرموقة في نفوس جميع المسلمين نظراً لقدسيتها وتاريخها المجيد في الإسلام، فهي مهبط الوحي والرسالة، ومنها انبعث نور الرسالة المحمدية على صاحبها أفضل الصلاة وأذكى التسليم، وتنفرد مكة المكرمة (٥٣٩.٥٢ شرقاً - ٥٢١.٥٢ شمالاً) ببيئة مميزة من الناحية الطبوغرافية والمناخ الصحراوي الذي يسودها طوال العام. لذا فقد اهتمت دراسات كثيرة بتقييم الوضع البيئي في مكة المكرمة لتحقيق الظروف المناخية المناسبة والحد من الأضرار المتوقعة نتيجة التعرض للملوثات الهوائية [١]. من هنا فإن الحفاظ على الهواء من الملوثات وخاصة الأتربة الصدرية واستمرارية رصدها ومتابعتها بصفة مستمرة ذات أهمية قصوى خاصة بمكة المكرمة، وقد أوضحت الدراسات الحديثة التي أجريت بمتحف خادم الحرمين الشريفين لأبحاث الحج منذ ١٤٢٤ هـ - ١٤٢٤ هـ بمكة المكرمة، ارتفاع تركيزات الأتربة الصدرية التي يتعرض لها السكان والحجاج والمعتمرين في أماكن تواجدهم وتنقلاتهم وخاصة بالمنطقة المركزية والشوارع والطرق والأفاق المؤدية للمسجد الحرام [٤-٢]، كما أوضحت تلك الدراسات أن الأتربة الصدرية قد تسبب بعض الأمراض التنفسية والتهابات الرئة وتزداد هذه التأثيرات الصحية سوءاً مع تغيرات الرطوبة النسبية، وارتفاع درجات الحرارة مثل تلك السائدة بمكة، أو زيادة الجهد المبذول مثل ما يتطلبه أداء نسك العمرة خاصة في أوقات الصيام طيلة نهار رمضان كما يزيد الوضع خطورة في حالة المسنين ومرضى الصدر [٦-٥]، حيث ذكرت الدراسة أن تركيزات الأتربة الصدرية العالقة بالهواء وصلت إلى أكثر من ٢٥٠ ميكروجرام/م³ بجوار المسجد الحرام، وهي ضمن الحدود المسموح بها في النظام العام للبيئة بالمملكة العربية السعودية وهو ٣٤٠ ميكروجرام/م³ [٧].

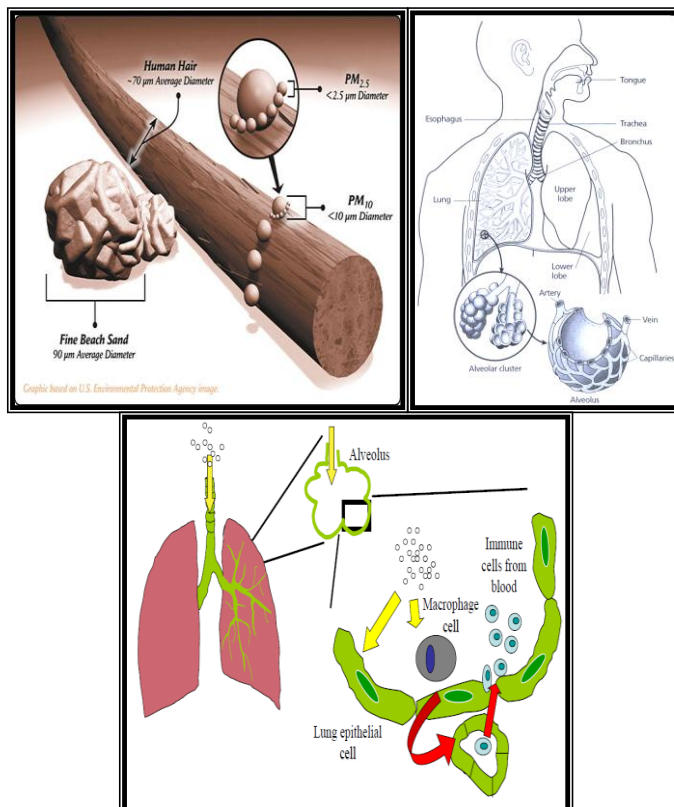
ومن المعروف أن الجسيمات العالقة تشكل علامة هامة لقياس جودة الهواء، حيث أن وجودها دليل على وجود ملوثات في الهواء. فالجسيمات تتكون في الهواء الجوي من مصادر طبيعية واصطناعية، كما تكون أيضاً من تكافث الغازات والأبخرة في الهواء الجوي [٨-١٠]. الجسيمات العالقة وخاصة الأتربة المستنشقة (أقل من ١٠ ميكرون) تنتشر في الهواء الجوي من عدة مصادر متنوعة منها حركة مرور السيارات، العمليات الصناعية، التدفئة المنزلية، والطهي [١١]. عمر الجسيمات العالقة في الهواء الجوي يختلف من بضع ثوان إلى عدة أشهر، وهذا يتوقف على حجم الجسيمات، وكثافتها، والاضطرابات الجوية. فالأتربة المستنشقة تنتشر وتحرك في الهواء وتسبب تلوث على مسافة قد تصل إلى عشرة كيلومتر من مصدرها [١٢]، وهذه الأتربة ذات خطورة كبيرة على صحة الإنسان مقارنة بالجسيمات العالقة كبيرة الحجم [٩، ١٣]. وقد وجدت العديد من الدراسات الوبائية علاقة وثيقة بين النتائج الصحية وتركيزات الجسيمات المستنشقة، حيث تمربط بين تركيز الأتربة المستنشقة في الهواء والآثار السلبية على الصحة الناتجة من هذه التركيزات. كما أن

التعرض للأتربة المستنشقة يؤدى لوجود زيادة من أمراض الجهاز التنفسى والقلب والأوعية الدموية، وتلف أنسجة الرئة، وقد يؤدى إلى الوفاة المبكرة، وربما يسهم في الإصابة بالسرطان [٩، ١٤]. شكل وحجم جزيئات الأتربة المستنشقة هما سبب اختراق الجزيئات للجهاز التنفسى وزيادة احتمالية وصولها مناطق أعمق في الرئتين [٩، ١٤].

عملية التنفس هي عملية مستمرة لا غنى للإنسان عنها، والجسيمات العالقة يمكنها الوصول إلى الجهاز التنفسى، فتسبب تهيجا في المسالك التنفسية أو في نسيج الرئة إذا كانت لها هذه الخاصية، أو تستقر في الرئتين. فإذا كانت قابلة للذوبان في الماء فإن المكان الذي تستقر فيه (الشعب الهوائية أو نسيج الرئة) لا يتأثر، حيث أنها تذوب في المخاط أو السائل الذي يغطى سطح الجهاز التنفسى، و تمتص فتصل إلى الدم ومنه إلى أجزاء الجسم المختلفة فتسبب أضرار في الجسم في أماكن أخرى مثل حدوث تسمم بأملاح الرصاص أو المنجنيز. أما في حالة الجسيمات التي لا تذوب في الماء فانها تترسب في الجهاز التنفسى فيؤثر وجودها على عملية التنفس. كما أن وجودها يعتمد عليه قدرتها على البقاء في القاء في الجهاز التنفسى أو في الرئتين بصفة خاصة. ومكانها داخل الجهاز التنفسى يحدد حسب حجمها. فالجسيمات كبيرة الحجم (القطر أكبر من ١٠ ميكرون) تترسب في العادة بفعل الجاذبية الأرضية قبل أن تصل إلى الجهاز التنفسى. بينما الجسيمات الأصغر حجما تمر إلى المسالك التنفسية، فتنتصى لها الأنظمة الدفاعية الموجودة في الجهاز التنفسى فيترسب جزء منها في الأنف و القصبة الهوائية و الشعب الهوائية، و يمكن للجسيمات الأصغر من ١٠ ميكرون الوصول إلى نسيج الرئة، و تعرف بالأتربة القابلة للاستنشاق (Respirable Dust) ، وإن كان متوسط قطر الأتربة حوالي ١ ميكرون فإنها تترسب في الحويصلات الهوائية.

إن إنتشار أمراض الحساسية في زيادة مستمرة في العالم والتي قد تشكل مصدر قلق لدى كثير من الناس. لذا يعد تلوث الهواء من بين اهم المسببات العديدة المعروفة لأمراض الحساسية ومرتبط بالبيئة. وهناك دلائل قوية تؤيد وجود العلاقة بين تلوث الهواء وتفاقم الربو الشعبي وأمراض الحساسية الأخرى. فمعظم الأضرار الصحية الناتجة عن التعرض للجسيمات العالقة تتسبب فيها جسيمات متناهية في الصغر، أقل من ١٠ جزء في المليون وتختلف هذه الجسيمات طريقة حتى تصل إلى الرئة مسببة أعراض مرضية مختلفة (مثل الربو الشعبي، السعال والأزمات التنفسية..الخ) (شكل - ١). و معظم هذه الجسيمات العالقة تكون ناتجة عن عمليات الاحتراق الغير تام ومن أمثلتها: الرماد، السناج والمركبات الكربونية. بالإضافة إلى ذلك تضم الجسيمات العالقة مركبات حمضية ومعادن مثل الرصاص والكادميوم و كبريتات ونترات. إذا كانت كمية الأتربة أو الجسيمات التي تصل إلى الجهاز التنفسى في الحدود المقبولة فإن بالإمكان التخلص من ٩٥٪ منها بفعل الأنظمة الدفاعية للجهاز التنفسى. و في الظروف الطبيعية تحتوى رئتي الإنسان البالغ على كميات قليلة و غير مؤثرة من الأتربة، كما تحتوى على كمية من السناج الذي يستقر في الرئتين فيعطيها اللون الأسود في بعض الأماكن مثل العقد الليمفاوية، ولكن ذلك لا يؤثر على وظيفة الرئتين و ليس له أي آثار مرضية. أما إذا زادت كمية الأتربة في البيئة عن حد معين، فإن كميات كبيرة منها تترسب في الجهاز التنفسى وقد تكون لها آثار ضارة.

من هنا فقد هدفت هذه الدراسة لرصد تراكيز الأتربة الصدرية في أربعة أحياe ممثلة لأحياء مكة المكرمة بالمملكة العربية السعودية: حي العزيزية (منطقة سكنية تميز بكتافة سكانية)، وفى حى العوالى (منطقة سكنية ذات كثافة سكانية منخفضة)، المنطقة المركزية (حي الشبيكة بالقرب من الحرم المكى الشريف ذات كثافات موسمية)، بالإضافة إلى حى المسفلة (تميز بكثافات مرورية عالية) خلال الفترة من ١ رمضان ١٤٢٤هـ وحتى ٢٧ صفر ١٤٣٥هـ. دراسة علاقة تراكيز الأتربة الصدرية بوجود حالات الربو الشعبي، حيث أشارت الدراسة إلى حساب درجة الخطورة والتنبؤ بعدد حالات الربو الشعبي فى الأطفال والبالغين الناتجة من تركيزات الأتربة المستنشقة التي تم رصدها بإستخدام نموذج محاكاة (AirQ2.2.3 model).



شكل - ١: حجم حبيبات الأتربة المستنشقة ومسار الأتربة المستنشقة في الرئة.

أهداف البحث

يمكن تلخيص أهداف البحث كالتالى:-

رصد تركيزات الأتربة المستنشقة في المناطق الحضرية بمدينة مكة المكرمة.
حساب المخاطر البيئية (جرعة استنشاق وخطر الاصابة بسرطان الرئة) نتيجة التعرض لاستنشاق الأتربة الصدرية.

التنبؤ بعدد حالات دخول المستشفيات بسبب أمراض الجهاز التنفسى الناتجة من تركيزات الأتربة المستنشقة.

منهجية البحث

وتلخص منهجية البحث في الخطوات التالية:

اختيار أماكن سحب العينات في أربع مناطق (منطقة العزيزية - منطقة سكنية تتميز بكثافة سكانية ومروoria & منطقة العوالى - منطقة أقل تلوثاً حسب المتوقع & المنطقة المركزية (الشبيكة) - بالقرب من الحرم المكى الشريف ذات كثافات موسمية & منطقة المسفلة - تتميز بكثافات مررورية عالية).

استخدام مضخة سحب الهواء ذات الحجم المنخفض (معدل سحبها يساوى ~ ٦-٥ لتر/دقيقة) وفلاتر نيتريت السيليلوز (مسام = ٤٥ .٠ ميكرون) لتجمیع عینات الأتربة المستنشقة عليها.

سحب عينة واحدة أسبوعياً لمدة ستة أشهر من الموقع الموجودة بكل منطقة.
تحليل العينات في المعمل الكيميائي.

حصر وجمع بيانات أعداد المرضى المصابون بأمراض الجهاز التنفسى بمكة المكرمة.

حساب المخاطر البيئية (جرعة الاستنشاق وخطر الاصابة بسرطان الرئة) نتيجة التعرض لإستنشاق الأتربة الصدرية الموجودة بمناطق القياس.

تطبيق نموذج المحاكاة (AirQ2.2.3) للتنبؤ بعدد حالات دخول المستشفيات بسبب أمراض الجهاز التنفسى الناتجة من تركيزات الأتربة المستنشقة المجمعة بمناطق القياس.

موقع القياس

شملت موقع القياس أربعة أحياء مختلفة وهي حى العزيزية (منطقة سكنية تتميز بكثافة سكانية)، وفى حى العوالى (منطقة سكنية ذات كثافة سكانية منخفضة)، المنطقة المركزية (حي الشبيكة بالقرب من الحرم المكى الشريف ذات كثافات موسمية)، بالإضافة إلى حى المسفلة (تتميز بكثافات مررورية عالية)، كما هو موضح بشكل ٢ -.

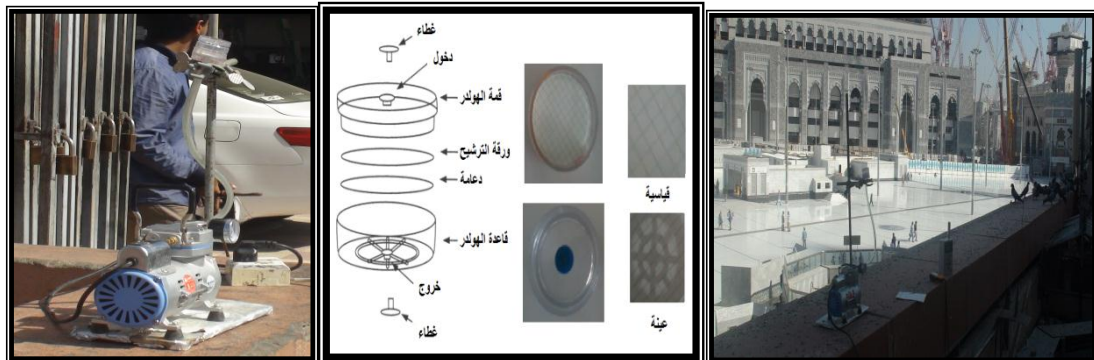


شكل - ٢: خريطة توضح موقع القياس.

طرق القياس

قامت الدراسة برصد لتراكيز الجسيمات المستنشقة (الأقل من ١٠ ميكرون) بإستخدام جهاز جميع الأتربة الصدرية منخفض الحجم (Low Volume Sampler LVS) والمصنوع من قبل شركة بيكو الألمانية (Beco R300) وذلك بعد معایرة الجهاز واستخدام فلاتر نترات السيلالوز مقاس ٤٥ ميكرون الخاصة بالأتربة الأقل من ١٠ ميكرومتر (شكل - ٣).

وقد استخدمت طريقة الترشيح لتقدير التركيز الكلي للأتربة الصدرية المستنشقة حيث يتم وضع ورقة ترشيح في المجفف ثم يتم وزن ورقة الترشيح في المعمل قبل الذهاب إلى الموقع ثم تنقل بعانياً إلى جهاز سحب الهواء. بعد إنتهاء فترة جمع العينة (٢٤ ساعة) يتم نقل العينة بعانياً إلى المعمل حيث توضع في المجفف ثم توزن إلى وزن ثابت والفرق في الوزن قبل سحب الهواء وبعد إنتهاء جمع العينة هو وزن الغبار العالق المجمع من الهواء، وباستخدام وزن العينة وكمية الهواء الذي تم سحبه خلال فترة جمع العينة يمكن حساب التركيز ويعبر عنه بالميكروجم/م³ [١٥].



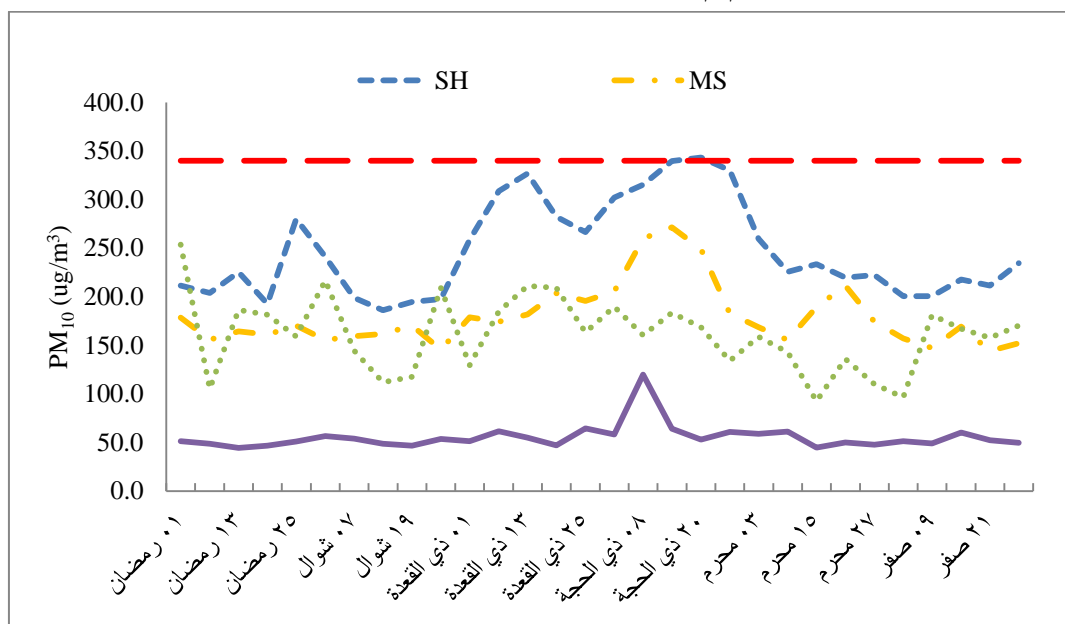
شكل - ٣: جهاز تجميع عينات الأتربة المستنشقة (PM10).

نتائج البحث

الأتربة الصدرية

لقد تم قياس الأتربة الصدرية في أربع أحيا (حي الشبيكة، حي المسفلة، حي العزيزية، وحي العوالى) بمكة المكرمة بالملكة العربية السعودية (كما هو مبين بالشكل ١-١). حيث تراوحت تراكيز الأتربة الصدرية في المنطقة المركزية (حي الشبيكة) بين ١٨٦.١ - ٣٤٣.٢ ميكروجم/م³ بمتوسط تركيز ٢٥٤.٦ ميكروجم/م³، وبين ١٤٥.٦ - ٢٧١.٤ ميكروجم/م³ بمتوسط تركيز ١٨٤.٩ ميكروجم/م³ في حي المسفلة، وبين ٩٢.٤ - ٢٥٣.٨ ميكروجم/م³ بمتوسط تركيز ١٦٢.٤ ميكروجم/م³ في حي العزيزية، وبين ٤٤.٥ - ١١٩.٨ ميكروجم/م³ بمتوسط تركيز ٥٦.٠ ميكروجم/م³ في حي العوالى طول فترة القياس (من ١ رمضان ١٤٢٤هـ وحتى ٢٧ صفر ١٤٣٥هـ) كما هو موضح بشكل ٤. وهي قيم لم تتجاوز الحدود المسموحة بها في قانون حماية البيئة واللائحة التنفيذية بالرئاسة العامة للأرصاد وحماية البيئة (PME) للأتربة الصدرية (٣٤٠ ميكروجم/م³ كمتوسط يومي) [٧]. ويرجع هذا الارتفاع الكبير في تركيز هذه الأتربة الصدرية المستنشقة بمنطقة المسجد الحرام إلى الأعمال التطويرية الضخمة القائمة حالياً من أجل توسيعة

المسجد الحرام خاصة في منطقتي المسعى والساحة الشمالية من الحرم وما ينجم عن ذلك من حركة كثيفة للشاحنات والمعدات الثقيلة بالمنطقة المحيطة بالحرم وما ينتج عنها من أتربة صدرية كثيفة عالقة بالهواء نتيجة عمليات الهدم والتكسير الصخري المستمرة على مدار ٢٤ ساعة. وفي المسفلة يرجع ارتفاع تراكيز الأتربة الصدرية المستنشقة إلى الكثافة المرووية وما ينتج عنها من أتربة صدرية كثيفة عالقة بالهواء نتيجة الحركة الكثيفة للسيارات والشاحنات. وفي العزيزية يرجع ارتفاع تراكيز الأتربة الصدرية المستنشقة إلى قربها من مناطق المشاعر المقدسة وخاصة منها وكثافة السكان والأنشطة البشرية التي ينبع عنها أتربة صدرية كثيفة عالقة بالهواء. بينما يرجع انخفاض تراكيز الأتربة الصدرية المستنشقة في حي العوالى إلى الكثافة السكانية المنخفضة. كل هذه التراكيز العالية من الأتربة الصدرية التي تكمن خطورتها في تأثيرها السلبي على صحة المصلين والمعتمرين أدت إلى أضرار صحية خطيرة على الجهاز التنفسى للإنسان حيث أنها زادت من حالات الكحة والأزمات الروبوية مما جعل السوق الأوربية المشتركة تضع الحدود القصوى لتواجده بالهواء عند ٥٠ ميكروجرام/م³ [٥].



شكل - ٤ : تراكيز الأتربة الصدرية المجمعة من مناطق الدراسة (ميكروجم/م³) خلال الفترة من ١ رمضان ١٤٣٤ هـ - ٢٧ صفر ١٤٣٥ هـ.

كما يوضح جدول (١) مقارنة بين تراكيز الأتربة الصدرية المستنشقة في موقع القياس بمكة المكرمة وبعض المدن بدول العالم المختلفة. حيث يتضح ارتفاع تركيز الأتربة الصدرية المستنشقة بشكل ملحوظ في المنطقة المركزية وحى المسفلة بمكة المكرمة مقارنة باقى المدن ماعدا فى الصين، حيث أن تراكيز الأتربة الصدرية المستنشقة التي تم رصدها فى الدراسة الحالية أقل بكثير من التي تم رصدها فى مدن الصين. وقد أعزت الدراسة ارتفاع الأتربة الصدرية المستنشقة فى المنطقة المركزية وحى المسفلة إلى الازدحام الشديد بمنطقة الحرم الناتج عن النشاطات البشرية الكثيفة خاصة في أوقات الصلاة وكذلك

الحركة الكثيفة للمصلين والمعتمرين والحجاج في ساحات المسجد الحرام وكذلك بين الحرم والفنادق والأسواق المحيطة به مما يزيد من انتشار هذه الأتربة المستنشقة بالهواء خاصة في ظل وجود عمليات التوسعة، إضافة إلى الكثافة المرورية العالية بالمنطقة المركزية وحي المسفلة.

إن هذه التركيزات العالية للأتربة الصدرية لتؤكد على ضرورة الالتفات إلى تحسين البيئة الهوائية بمكة المكرمة بشتى الوسائل والإمكانيات ومن ذلك استخدام رشاشات الماء الرذاذية لترسيب الأتربة العالقة بالهواء في المناطق القريبة من الإنشاءات والتوسعة مثل الساحة الشمالية، كذلك لا بد من استخدام ناقلات المياه (الوايات) لرش المياه على الأتربة الصادرة من عمليات الهدم والتكسير للحيلولة دون انتشارها في البيئة الهوائية المحيطة بالمنطقة المركزية، ومن الوسائل الاحترازية التي يمكن إتباعها كذلك البدء بإيقاف عمليات التوسعة والتطوير بالمعنى وبالمناطق المحيطة بالحرم مؤقتاً أثناء أوقات الذروة والتي تكثر فيها الحركة بمنطقة الحرم مثل شهر رمضان والحج. كذلك استخدام ناقلات المياه في رش الطرق الترابية بأحياء مكة المكرمة لتعييدها وتمهيدتها، وأيضاً من الضروري الالتفات إلى زيادة المساحة الخضراء بشوارع وأحياء مكة للحد من تأثير الملوثات والأتربة العالقة.

جدول (١): مستويات الأتربة المستنشقة في مدن متعددة بدول العالم المختلفة [٦].

الأتربة الصدرية PM10	البلد	
٣٤٣.٢ - ١٨٦.١	المنطقة المركزية (الشبكة)	المملكة العربية السعودية
٢٧١.٤ - ١٤٥.٦	المسفلة	
٢٥٣.٨ - ٩٢.٤	العزيزية	
١١٩.٨ - ٤٤.٥	العوالى	
١٤٥.٤	مكة المكرمة	
٦٨٢.٠	نانينج	الصين
٥٠٦.٩	بكين	
١٧١.٠	احمد اباد	الهند
١١٥.٠	شاوشو	تايوان
٢٦.٧	ارديملى	تركيا
٤٠.٢	برن	سويسرا
١٦.٠	مونت سيمون	ايطاليا
٤٤.١	اثينا	اليونان
٢٤.٤	ريو جينيرو	البرازيل
٣٨.٠	سان بولو	
٦٩.٠	دار السلام	

حساب المخاطر البيئية

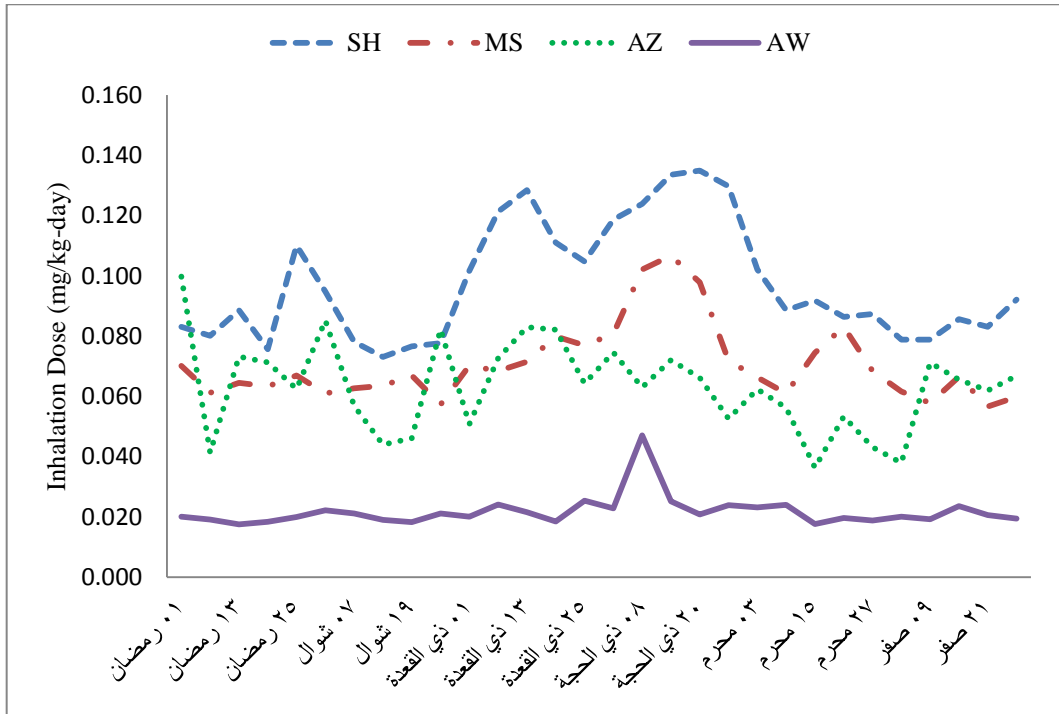
تم حساب جرعة استنشاق وخطر الاصابة بسرطان الرئة نتيجة التعرض لاستنشاق الأتربة الصدرية التي تم رصدها في مكة المكرمة خلال الفترة من ١ رمضان ١٤٣٤هـ حتى ٢٧ صفر ١٤٣٥هـ بإستخدام المعادلة رقم (١) [١٧].

$$(1) = \text{المعادلة } (C * DPR * A * EF * ED * 1e-6) / AT$$

حيث:

(من المعادلة - ١)	جرعة الاستنشاق (مجم/ يوم)	I
(من نتائج القياس)	: تركيز الأتربة الصدرية المستنشقة (PM10) (ميكروجم/ م³)	C
(٢٩٣ لتر/ كجم/ يوم)	: معدل التنفس اليومي (لتر/ كجم/ يوم)	BDR
(يساوي ١)	: عامل امتصاص الاستنشاق	A
(٣٦٥ يوم/ سنة)	: معدل التعرض (يوم/ سنة)	EF
(٧٠ سنة)	: مدة التعرض (سنوات)	ED
(٠٠٠٠٠١)	: معامل الاستنشاق	1e-6
(٢٥٥٥٠ يوم)	: متوسط مدى الفترة الزمنية التي تم خلالها التعرض (يوم)	AT

وقد بينت الأشكال (٥، أ - ج) إرتفاع جرعة استنشاق الأتربة الصدرية في موقع حى الشبيكة بالمنطقة المركزية، حى المسفلة، وفى العزيزية خلال العشر الاواخر من شهر رمضان وخلال فترة موسم الحج بداية من يوم ٨ ذى الحجة وحتى ١٥ ذى الحجة. حيث تراوحت جرعات الاستنشاق بين (٠٠٧٣ - ٠٠١٣٥) بمتوسط ٠٠٩٧ مجم/ كجم/ يوم، (٠٠٥٧ - ٠٠١٠٧) بمتوسط ٠٠٧١ مجم/ كجم/ يوم، (٠٠٣٦ - ٠٠١٠٠) بمتوسط ٠٠٦٣ مجم/ كجم/ يوم فى حى الشبيكة والمسفلة والعزيزية، على التوالى. ويعزى ذلك إلى كثافة المعتمرين والحجاج والباصات التي تنقلهم من الفنادق إلى الحرم المكي الشريف والمشارع المقدسة والعودة بهم مرة أخرى. كما وضحت الأشكال أن مسار التراكيز في الأحياء الثلاثة يتحرك من إنخفاض في بداية رمضان ثم إرتفاع ملحوظ في أواخر رمضان يليه إنخفاض في شهر شوال وذى القعدة ثم إرتفاع في موسم الحج يليه إنخفاض حتى بداية موسم العمرة بعد شهر محرم. وقد بين الشكل (٥، د) إنخفاض جرعة استنشاق الأتربة الصدرية في موقع حى العوالى طول فترة القياس بـإثنان يومى ٨ و ٩ ذى الحجة حيث أظهرت الحسابات إرتفاع ملحوظ يعزى إلى كثافة حركة الحجاج والباصات المتوجهة إلى عرفات لأداء مناسك الحج. وتراوحت جرعات الاستنشاق بين (٠٠١٧ - ٠٠٤٧) بمتوسط ٠٠٢٢ مجم/ كجم/ يوم.



شكل - ٥: جرعة إستنشاق الأتربة الصدرية (مجم/ كجم/ يوم) خلال الفترة من ١ رمضان ١٤٣٤ هـ - ٢٧ صفر ١٤٣٥ هـ.

كذلك تم حساب نسبة خطر الاصابة بسرطان الرئة نتيجة التعرض لاستنشاق الأتربة الصدرية التي تم رصدها في مكة المكرمة خلال الفترة من ١ رمضان ١٤٣٤ هـ وحتى ٢٧ صفر ١٤٣٥ هـ بإستخدام المعادلة رقم (٢) [١٧].

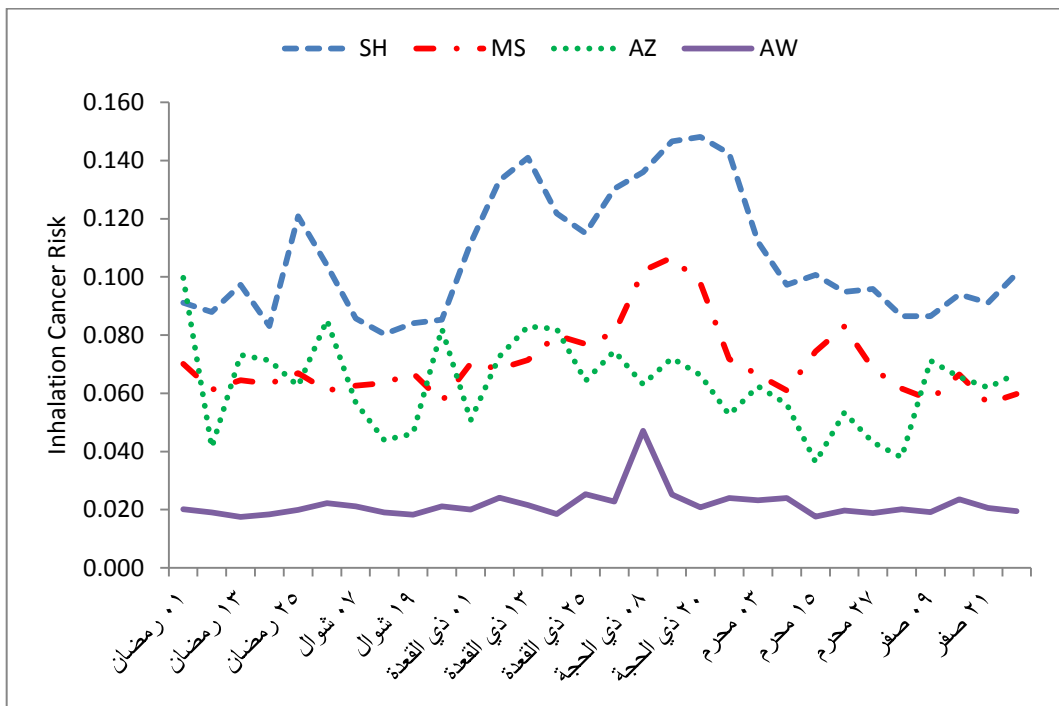
$$\text{المعادلة (٢)} = I * CPF$$

حيث:

(من المعادلة - ١)	: جرعة الإستنشاق (مجم/ كجم/ يوم)	I
(١٠٠٩٨)	: معامل قوة السرطان	CPF

وقد بيّنت الأشكال (٦، أ - ج) إرتفاع خطر الاصابة بسرطان الرئة نتيجة التعرض لاستنشاق الأتربة الصدرية في موقع حى الشبيكة بالمنطقة المركزية، حى المسفلة، وحي العزيزية خلال العشر الاواخر من شهر رمضان وخلال فترة موسم الحج بداية من يوم ٨ ذى الحجة وحتى ١٥ ذى الحجة حيث تراوحت النسب بين ٠٠٠٨ - ٠٠١٥ بمتوسط ٠٠١١، (٦٠٠٦ - ٠٠١٢) بمتوسط ٠٠٠٨٪، (٤٠٠٤ - ١١٠٠٤) بمتوسط ٠٠٠٧٪. ويعزى ذلك إلى كثافة المعتمرين والحجاج والباصات التي تنقلهم من الفنادق إلى الحرم المكي الشريف والمشاعر المقدسة والعودة بهم مرة أخرى. كما وضحت الأشكال أن مسار التراكيز في الأحياء الثلاثة يتحرك من

إنخفاض فى بداية رمضان ثم إرتفاع ملحوظ فى أواخر رمضان يليه إنخفاض فى شهرى شوال وذى القعدة ثم إرتفاع فى موسم الحج يليه إنخفاض حتى بداية موسم العمرة بعد شهر محرم. وقد بين الشكل (٦، د). إنخفاض خطر الاصابة بسرطان الرئة نتيجة التعرض لاستنشاق الأتربة الصدرية فى حى العوالى طول فترة القياس بإستثناء يومى ٨ و ٩ ذى الحجة حيث أظهرت الحسابات إرتفاع ملحوظ يعزى إلى كثافة حركة الحجاج والباصات المتوجهة إلى عرفات لأداء مناسك الحج. وتراوحت النسب بين (٢٠٠٥-٢٠٠٠) بمتوسط ٢٪.



شكل - ٦: نسبة خطر الاصابة بسرطان الرئة نتيجة التعرض لاستنشاق الأتربة الصدرية التي تم رصدها في مكة المكرمة خلال الفترة من ١ رمضان ١٤٣٤هـ و حتى ٢٧ صفر ١٤٣٥هـ.

التنبؤ بعدد حالات دخول المستشفيات بسبب أمراض الجهاز التنفسي تم استخدام نموذج محاكاة (AirQ2.3 model) لحساب درجة الخطورة والتنبؤ بعدد حالات أمراض الجهاز التنفسي الناتجة من تركيزات الأتربة المستنشقة التي تم رصدها في مكة المكرمة خلال الفترة من ١ رمضان ١٤٣٤هـ وحتى ٢٧ صفر ١٤٣٥هـ. حيث يعتمد البرنامج على مدخلات منها: بيانات الموقع (الحداثيات المدينة (خط عرض ٢٩.٨٢ شرق، خط طول ٤٣٠٢ شمال)، عدد السكان (٢٧٠،٠٠٠ حاج + ١٨٠،٠٠٠ مقيم)، سنة القياس (٢٠١٢م)، بيانات مدخل البيانات) [١٨]. بيانات الملوث (نوع الملوث (الأتربة الصدرية PM10)، تراكيز الأتربة الصدرية (مقسم كل ١٠ ميكرومتر/٣٥)).

حساب نسبة المخاطر (RR) من المعادلة رقم - [٤]، وفي هذه المعادلة استخدمت قيم معامل الخطورة لحساب الخطير النسبي، المنخفض، المتوسط، والعالٍ..

$$\text{معادلة (٢)}: RR = \exp [B(X-X_0)]$$

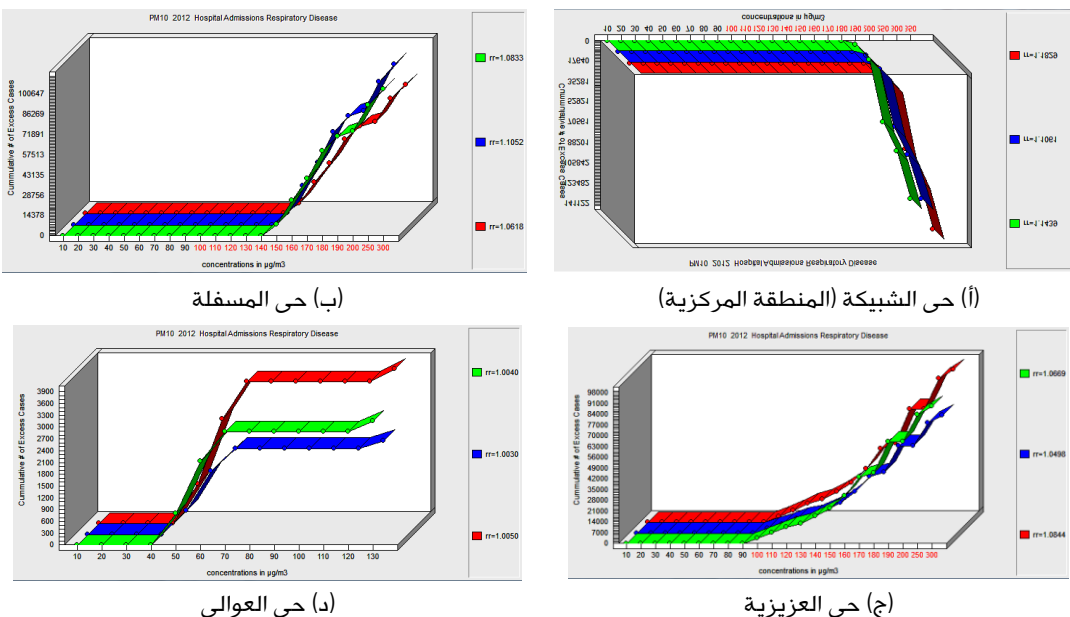
حيث أن:

معامل الخطورة يأخذ قيمة صغرى (٦٠٠٠٨)، متوسطة (٨٠٠٠٠)، عظمى (١٠٠٠١٠)	B
متوسط التركيز السنوي لتركيز الأتربة الصدرية المقاسة (ميكروجم/م³)	X
الحدود الموجودة في القانون لبلد الموقعة المقاس (٣٤٠ ميكروجم/م³)	X₀

البيانات الصحية (معدل الإصابة بأمراض الجهاز التنفسي المسجل بوزارة الصحة ٢٨٧٢ حالة في كل ١٠٠٠٠ شخص) [١٩].

وتشمل مخرجات البرنامج: حساب أثر تراكيز الأتربة الصدرية وحساب الخطر النسبي. وكذلك التنبؤ بعدد حالات دخول المستشفيات بسبب أمراض الجهاز التنفسي نتيجة التعرض لتركيزات PM10 في كل ١٠٠٠٠ شخص.

وقد أوضحت نتائج نموذج AirQ2.2.3 مدى تعرض سكان مكة المكرمة للأتربة الصدرية المستنشقة (PM10) ومدى الآثار الصحية الناجمة عن ذلك، وتنبأت بعدد حالات دخول المستشفيات بسبب أمراض الجهاز التنفسي نتيجة التعرض لتركيزات PM10 المقاسة بهذه الدراسة، ليكون عدد حالات دخول المستشفيات بسبب أمراض الجهاز التنفسي في كل ١٠٠٠٠ شخص بين (٢٢٩٨ - ٣٦١) حالة، (٢٢٩٨ - ١٧٧) حالة، (١٩٨٢ - ٧٢) حالة، (٧٠ - ١٨) في حي الشبيكة، المسفلة، العزيزية، العوالى، على التوالى (كما هو موضح بالشكل ٧). مما يوضح أن عدد حالات دخول المستشفيات بسبب أمراض الجهاز التنفسي في كل ١٠٠٠٠ شخص بأحياء الشبيكة والمسفلة أعلى منها في العزيزية وتقل لدرجة كبيرة في حي العوالى.



شكل - ٧: عدد حالات دخول المستشفيات بسبب أمراض الجهاز التنفسي لكل ١٠٠٠٠ شخص.

كما بينت نتائج النموذج AirQ2.2.3 أن معامل التركيز والاستجابة (CI) هو ٠٠٥٣ (٩٥٪)، ٠٠٧٠ (٣٢٪)، ٠٠٦٨ (٦٠٪)، ٠٠٥٠ (٤٠٪)، ٠٠٣٧ (٩٩٪)، ٠٠٤٠ (٦٠٪) في حي الشبيكة بالمنطقة المركزية، حي المسفلة، حي العزيزية، وحي العوالى، على التوالي لكل ١٠ ميكروجم/م³ زيادة في التركيز. وكانت هذه القيم أقل من التي تم رصدها في القاهرة- مصر (٤.١ - ٤.٢) وفي تالين - استونيا (١.١٤٪ - ٠.٦٢٪)، في حين أنها أعلى من التي تم رصدها في شانغهاي بالصين (٠.٢٢٪ - ٠.٤٨٪) وفي شمال الصين (٠.١٢٪ - ٠.٠٦٪). [٣٠-٢٧، ٢٠]

وبمقارنة نتائج الدراسة الحالية (١٨ - ٣٠٥٠ حالة في كل ١٠٠٠٠ شخص بمتوسط ١٥٣٤ حالة) في جميع مواقع القياس بعدد حالات دخول المستشفيات بسبب أمراض الجهاز التنفسى نتيجة التعرض لتركيزات PM10 المسجلة في بلدان مختلفة حول العالم وجد أنها أقل من التي تم تسجيلها في الولايات المتحدة الأمريكية (٨٩٧٠ حالة في كل ١٠٠٠٠ شخص)، وفي ماليزيا (٢٠٠٣٪) حالة في كل ١٠٠٠٠ شخص). ولكنها أعلى من التي تم تسجيلها في الصين (١٢٤٠٪) حالة في كل ١٠٠٠٠ شخص). [٢٦-٢٠].
في النهاية فإن الدراسات المتعلقة بالأرتبة الصدرية المستنشقة (PM10) وعلاقتها بعدد حالات دخول المستشفيات بسبب أمراض الجهاز التنفسى تحتاج المزيد من الوقت والدراسة للتحقق من أنها المسبب الرئيسي لأمراض الجهاز التنفسى في مكة المكرمة.

الخاتمة

ناقشت الدراسة تراكيز الأرتبة الصدرية المستنشقة في أحياء مختلفة متنوعة النشاط بمكة المكرمة خلال الفترة من رمضان لعام ١٤٣٤هـ إلى ٢٧ صفر لعام ١٤٣٥هـ. وقد أشارت الدراسة إلى وجود تراكيز عالية من الأرتبة الصدرية في حي الشبيكة بالمنطقة المركزية، حي العزيزية، وحي العوالى، وكانت أقل التراكيز في حي العوالى. وهذه القيم لم تتجاوز الحدود المسموح بها في قانون حماية البيئة واللائحة التنفيذية بالرئاسة العامة للأرصاد وحماية البيئة (PME) للأرتبة الصدرية (٢٤٪ ميكروجم/م³ كمتوسط يومي). وقد أعزت الدراسة سبب ذلك إلى الأعمال التطويرية الضخمة حالياً من أجل توسيعة المسجد الحرام خاصة في منطقتي المسعى والساحة الشمالية من الحرم وما ينجم عن ذلك من حركة كثيفة للشاحنات والمعدات الثقيلة بالمنطقة المحيطة بالحرم وما ينتج عنها من أرتبة صدرية كثيفة عالقة بالهواء نتيجة عمليات الهدم والتكسير الصخري المستمرة على مدار ٢٤ ساعة. وفي المسفلة والعزيزية إلى كثافة السكان والأنشطة البشرية والكثافة المرورية وما ينتج عنها من أرتبة صدرية كثيفة عالقة بالهواء نتيجة الحركة الكثيفة للسيارات والشاحنات.

كذلك تم تطبيق نموذج AirQ2.2.3 للتنبأ بعدد حالات دخول المستشفيات بسبب أمراض الجهاز التنفسى في مدينة مكة المكرمة، المملكة العربية السعودية خلال فترة سنة واحدة. حيث تراوحت بين (١٨ - ٣٠٥٠) حالة في كل ١٠٠٠٠ شخص بمتوسط ١٥٣٤ حالة. وكان معامل التركيز والاستجابة بين (٠٠٤٩ - ٠.٧٠) لكل ١٠ ميكروجم/م³ زيادة في التركيز بجميع مواقع الدراسة. وتمت مقارنة نتائج النموذج بالدراسات التي أجريت في بلدان أخرى حول العالم.

النوصيات

لذلك توصى هذه الدراسة بالتالي:

١. تشجيع التعاون مع المراكز الصحية التابعة لوزارة الصحة السعودية بمناطق مكة المكرمة لعمل حصر فعل مدقة لعدد حالات دخول المستشفيات بسبب أمراض الجهاز التنفسى، يمكن من خلاله التنبؤ سنوياً بعدد حالات دخول المستشفيات نتيجة التعرض لتراكيز الأتربة الصدرية المستنشقة (PM10).
٢. مد متذى القرار بالجهات التنفيذية بنتائج هذه الدراسة لوضع خطط مستقبلية تتلائم مع عدد حالات دخول المستشفيات المتنبأ بها.
٣. إتخاذ التدابير والإجراءات الاحترازية بمنع وتقليل عمليات الهدم والبناء في المناطق التي بين نموذج المحاكم زيادة اعداد دخول المستشفيات بها خاصة في مواسم الذروة (رمضان، الحج).
٤. استمرار اجراء القياسات والرصد المستمر لتراكيز الأتربة المستنشقة وحصر الأعداد الفعلية لعدد حالات دخول المستشفيات بسبب أمراض الجهاز التنفسى، حيث يمكن من خلال هذه البيانات التنبؤ سنوياً بعدد حالات دخول المستشفيات نتيجة التعرض لتراكيز الأتربة الصدرية المستنشقة (PM10).

المراجع

١. نصر الله، م.م.، ٢٠٠١م، تلوث الهواء وحماية البيئة الهوائية- الناشر أكاديمية البحث العلمي- القاهرة.
٢. نصر الله، م.م.، ١٤٢٤هـ، برنامج تعرض الحاج والمعتمرين لملوثات الهواء - تقارير معهد خادم الحرمين الشريفين لأبحاث الحج- مكة المكرمة.
3. Nasralla M. and Seroji A. R., 2007, Primary Pollutants and Potential Photochemical Smog Formation in Makkah Atmosphere. Arab Gulf Journal of Science Research, Arabian Gulf University, Manamah, Kingdom of Bahrain, December 2007, Vol. 25, No. 4, 153-161.
4. Seroji, A. R., 2008, the ground Ozone variations with UV radiation during winter and spring seasons in 2007 over Makkah. Journal of King Abdulaziz University "Science ", Vol. 120, No. 4.
5. WHO, 2002, Guidelines for Air Quality, European Regional Office, World Health Organization, Geneva.
6. Nasralla M. and Seroji A. R., 2008, Particulates in the Atmosphere of Makkah and Mina Valley during Ramadan and Hajj Seasons of 1424 and 1425 H (2004 – 2005). Arab Gulf Journal of Science Research, Arabian Gulf University, Manamah, Kingdom of Bahrain, December 2008, Vol. 26, No. 4, 199-206.
٧. النظام العام للبيئة واللائحة التنفيذية، ١٤٢٧هـ، ملحق (١) مقاييس حماية البيئة - النظام العام للبيئة واللائحة التنفيذية في المملكة العربية السعودية - وثيقة رقم ١٤٠٩ - ٠١.
8. Kleinman, M.T.; Pasternack, B.S.; Eisenbud, M.E. and Kneip, T.J. (1980). Identifying and estimating the relative importance of sources of airborne particulates. Environ. Sci. Tech. 14 (1): 62 – 65.

9. Hassan, S.K.M. (2006). Atmospheric Polycyclic Aromatic Hydrocarbons and Some Heavy Metals in Suspended Particulate Matter in Urban, Industrial and Residential Areas in Greater Cairo. Ph.D. Thesis, Chemistry Department, Faculty of Science, Cairo University, Egypt.
10. Paoletti, L.; Falchi, M.; Viviano, G.; Ziemacki, G.; Batisti, D. and Pisani, D. (1989). Features of airborne breathable particulate in a remote rural and in an urban area. *J. Water, Air and Soil Pollution*, 43 (1-2): 48 – 85.
11. Han, X. and Naher, L.P. (2006). A review of traffic-related air pollution exposure assessment studies in the developing world. *Environ. Intern.* 32 : 106 – 120.
12. USEPA (US Environmental Protection Agency) (1995a). National Air Pollutant Emission Trends, 1990-1994.
13. Chan, L.Y. and Kwok, W.S. (2000). Vertical dispersion of suspended particulates in urban area of Hong Kong. *Atmos. Environ.*, 34 (26): 4403 – 4412.
14. WHO (World Health Organization). Protection of the human environment, assessing the environmental burden of disease at national and local levels, Geneva 2004.
15. JIS (Japanese Industrial Standards) (1992): General Rule for Test Methods of Reagents, Japanese Industrial Standards Committee, Tokyo, Japan.
١٦. تركى حبيب الله (٢٠١١ هـ) البرنامج البحثي لعرض الحاج والمعتمرين لملوثات الهواء بمكة المكرمة والمشاعر المقدسة. "التقرير الثاني" الجزء الأول: التوزيع الحجمي والتركيب الكيميائى والمعدنى للأتربة العالقة (الأنيونات - الكاتيونات - المعادن) لموسمى الحج ١٤٢٦ هـ و ١٤٢١ هـ. معهد خادم الحرمين الشريفين لأبحاث الحج والعمرة. جامعة أم القرى ، مكة المكرمة، المملكة العربية السعودية.
17. SES (Stirling Energy System) solar. 2008. SES solar one application for certification: volume 3. Appendix DD: public health and safety data. California energy commission. Bureau of land management.
http://www.energy.ca.gov/sitingcases/solartwo/documents/applicant/afc/volume_02+03/MASTER_Appendix/20DD.pdf
18. Makkah: Mecca-Wikipedia, the free encyclopedia 2010.
19. HSYB (Health Statistical Year Book) for Hajj 1432H, 2011. www.moh.gov.sa.
20. Wang X, Mauzerall DL. Evaluating impacts of air pollution in China on public health: Implications for future air pollution and energy policies. *Atmos Environ* 2006; 40: 1706-21.
<http://dx.doi.org/10.1016/j.atmosenv.2005.10.066>
21. Orru H, Teinemaa E, Lai T, Tamm T, Kaasik M, Kimmel V, et al. Health impact assessment of particulate pollution in Tallinn using fine spatial resolution and modeling techniques. *Environ Health* 2009; 8: 7-15. <http://dx.doi.org/10.1186/1476-069X-8-7>

22. Guo Y, Jia Y, Pan X, Liu L, Wichmann HE. The association between fine particulate air pollution and hospital emergency room visits for cardiovascular diseases in Beijing, China. *Sci Total Environ* 2009; 407: 4826-30. <http://dx.doi.org/10.1016/j.scitotenv.2009.05.022>
23. Guo Y, Tong S, Li S, Barnett AG, Yu W, Zhang Y. Gaseous air pollution and emergency hospital visits for hypertension in Beijing, China: a time-stratified case cross over study. *Environ Health* 2010a; 9: 57-65. <http://dx.doi.org/10.1186/1476-069X-9-57>
24. Guo Y, Tong S, Zhang Y, Barnett AG, Jia Y, Pan X. The relationship between particulate air pollution and emergency hospital visits for hypertension in Beijing, China. *Sci Total Environ* 2010b; 408: 4446-50. <http://dx.doi.org/10.1016/j.scitotenv.2010.06.042>
25. Chen R, Pan G, Kan H, Tan J, Song W, Wu Z. Ambient air pollution and daily mortality in Anshan, China: a times stratified case-crossover analysis. *Sci Total Environ* 2010; 408: 6086-91. <http://dx.doi.org/10.1016/j.scitotenv.2010.09.018>
26. Shakour AA, El-Shahat MF, El-Taieb NM, Hassanein MA, Mohamed AMF. Health Impacts of Particulate Matter in Greater Cairo, Egypt. *J Am Sci* 2011; 7: 9-15.
27. USEPA (United States Environmental Protection Agency). The benefits and costs of the Clean Air Act, 1970-1990. EPA-410-R-97-002, United States Environmental Protection Agency Office of Air and Radiation Policy, 1997. (<http://www.epa.gov/airprogm/oar/sect812/>, accessed 11/02/20130).
28. Chen C, Chen D, Green C, Wu C. Benefits of expanded use of natural gas for pollutant reduction and health improvement in Shanghai. *Sino Sphere J* 2002; 5(2): 58-64.
29. Afroz R, Hassan MN, Ibrahim NA. Review of air pollution and health impacts in Malaysia. *Environ Res* 2003; 92: 71-77. [http://dx.doi.org/10.1016/S0013-9351\(02\)00059-2](http://dx.doi.org/10.1016/S0013-9351(02)00059-2)
30. Fattore E, Paiano V, Borgini A, Tittarelli A, Bertoldi M, Crosignani P, Fanelli R. Human health risk in relation to air quality in two municipalities in an industrialized area of Northern Italy. *Environ Res* 2011; 111: 1321-7. <http://dx.doi.org/10.1016/j.envres.2011.06.012>.